

# 1-9 安定性を考慮した平面構造物の塑性解析について

徳島大学工学部 正員 工博 星 岩雄

・ 〃 工修 梶場弘行

・ 〃 ○平尾 淳

芙蓉海洋開発KK 〃 井上 浩

## 1. 豪旨

本文は軸力の2次の影響と有限変位理論と塑性解析における内力追跡法に導入して、安定解析と非線形塑性解析と同時に行ないつつ、平面構造物が漸増荷重をうけた場合の崩壊過程を追跡しながら、最終的な限界荷重を求める方法について研究したものである。

## 2. 解析方法の概要

筆者らはすでに平面構造物を対象とした、内力追跡法による塑性解析として文献(1), (2), (3)の研究と、軸力の2次の影響を考慮した変形法による安定解析として文献(5), (6)の研究を行なっており、さうに、文献(4)でこれらを塑性解析と安定解析併用し、まず、線形の塑性解析を先行し、その結果をもとに、機構の変化する23段階からつぎの段階までの荷重増加に対して変化した構造形式について安定解析を行ない、塑性解析と安定解析の両面から限界荷重を求めようとする研究も行なわれている。この文献(4)の研究は本文の基準的研究であるが、安定解析と塑性解析を別個のプログラムで解析しているため、先行した塑性解析の途中結果をP.T.Pなどでoutputし、そのdataをもとに安定解析を行なうため、解析に非常に多くの時間を要することとともに、線形の塑性解析で得られた結果を非線形の安定解析のdataとして使用しているため、解析方法にも多少の矛盾が含まれている。

そこで、筆者らはこのような矛盾を取り除くため、線形の塑性解析と非線形の塑性解析に改良し、要旨で述べたような解析を、初期のinputdataを与えるだけで計算機が自動的に追跡し、必要な途中結果と最終的な限界荷重が求まるようなプログラムの作成をこころみ、一応の成果を得たので以下にこの解析プログラムにおける解析手順を紹介するが、内力追跡法による塑性解析は同様に手順の繰返によって進められるから、ここでは、荷重強度段のものとある材端に塑性屈筋(塑性軸力)が発生してからつぎの塑性屈筋(塑性軸力)が発生するまでの、内力追跡法における任意段階だけについてその解析手順を述べることにする。

- 1) 荷重強度 $P_0$ のところである材端に塑性屈筋(塑性軸力)が発生したように構造形式を変更し、その時の各部材の軸力より有限変位を考慮して安定解析を行ない、安定であればつぎの2)の手順にうつり、不安定であればその時まで解析を終了し、 $P_0$ を限界荷重として求める。
- 2)  $P_0 > P_1$ の任意の荷重が作用した場合につき、繰返し計算を行ない、有限変位理論および軸力の2次の影響による非線形計算の定常解を求め、同時に安定解析を行なう。この安定解析の結果、安定の場合はつぎの3)の手順にうつり、不安定な場合には荷重 $E_i P_1 < P_1$ の向こうに適当に変化させ、それまでの荷重に対して安定解析を行ない、安定か不安定かにより荷重強度を増減し、適当な精度の限界荷重 $P_1$ を求める。そして、この限界荷重 $P_1$ について、つぎの手順3)の解析を行ない、 $P_{min} > 1$

かどわがの判定を行ない、 $R_{\min} > 1$ （限界荷重比のところで新らたな塑性関節は発生しない。）のときは解析を終了し、 $R_{\min} < 1$ （限界荷重比より小さく荷重で新らたな塑性関節が発生する。）のときは $P' = R_{\min} \cdot P_0$ なる荷重 $z/2$ ）、3)の手順を繰返す。

3) 2)の手順でまとめて曲げモーメント(軸力)の定常解と全塑性モーメント(全塑性軸力)とから、両者の値と荷重強度の間に線形関係があると仮定し、各部材端で荷重倍数を求める。これらの中の最小値、すなはち、最小荷重倍数 $R_{\min}$ を求める。

4) 非線形解析であるから荷重倍数を1に収束させる必要があるため、3)で求めた最小荷重倍数 $R_{\min}$ が1に収束したかどわがを判定し、収束していふ場合には $R_{\min}$ となって“3材端に塑性関節(塑性軸力)が発生したものとみなし構造形式をそのように変更する。また、収束していない場合には荷重強度 $P'$ を $P'_0 \cdot R_{\min}$ に変化させ、2), 3)の手順を繰返す。

以上のように不安定現象がおこらない場合には1)～4)の手順を繰返すことにより、つぎつぎに新らたな材端(部材)に塑性関節(塑性軸力)が発生し、最後には構造物は機構を形成して崩壊することになるから、その時まで解析を終了すればよい。

なお、上述のように本解析は非線形解析であるため、任意の荷重強度に対する定常解を求めるために、荷重倍数を1に収束させるための二重の繰返し計算が必要であるから、単純な繰返し計算を行なっていきたくだけ解析に非常に多くの時間がかかるため、この方面に改良を加える必要があるが、このあたりでは目下検討中である。

### 3. 変形法の基本式

内力追跡による塑性解析は漸次変化してゆく構造形式に対する弾性計算の繰返しによりなされるから、この弾性計算の部分に用いる計算方法として、構造形式のいかんにかかわらず同様な手順で解析できる変形法が有利であり、本文ではこれを採用したので、以下に本文の安定解析および塑性解析に必要な軸力の2次の影響を考慮した場合の基本式を各種の材端条件に応じて紹介する。

#### 1) 兩端剛節部材

$$P_{ij} = a_{ij}(u_i - u_j) + b_{ij}(v_i - v_j) + C_{ij}(\theta_i + \theta_j)$$

$$P_{ij} = b_{ij}(u_i - u_j) + \bar{a}_{ij}(v_i - v_j) + \bar{C}_{ij}(\theta_i + \theta_j)$$

$$M_{ij} = C_{ij}(u_i - u_j) + \bar{C}_{ij}(v_i - v_j) + d_{ij}\theta_i + \bar{d}_{ij}\theta_j$$

#### 2) i 端滑節、j 端剛節部材

$$P_{ij} = a'_{ij}(u_i - u_j) + b'_{ij}(v_i - v_j) + C'_{ij}\theta_i$$

$$P_{ij} = b'_{ij}(u_i - u_j) + \bar{a}'_{ij}(v_i - v_j) + \bar{C}'_{ij}\theta_i$$

$$M_{ij} = 0$$

#### 3) i 端剛節、j 端滑節部材

$$P_{ij} = a''_{ij}(u_i - u_j) + b''_{ij}(v_i - v_j) + C''_{ij}\theta_i$$

$$P_{ij} = b''_{ij}(u_i - u_j) + \bar{a}''_{ij}(v_i - v_j) + \bar{C}''_{ij}\theta_i$$

$$M_{ij} = C''_{ij}(u_i - u_j) + \bar{C}''_{ij}(v_i - v_j) + d''_{ij}\theta_i$$

#### 4) i 端塑性関節、j 端剛節部材

$$P_{ij} = a'''_{ij}(u_i - u_j) + b'''_{ij}(v_i - v_j) + C'''_{ij}\theta_i - 3M_{pi}(\frac{\theta_i}{R}) \sin\alpha / 2L$$

たただし

$$a_{ij} = \frac{EI}{L} \cos^2\alpha + \frac{12EI}{L^3} (\frac{\theta_i}{R}) \sin\alpha$$

$$\bar{a}_{ij} = \frac{EI}{L} \sin\alpha + \frac{12EI}{L^3} (\frac{\theta_i}{R}) \cos^2\alpha$$

$$b_{ij} = \left\{ \frac{EI}{L} - \frac{12EI}{L^3} (\frac{\theta_i}{R}) \right\} \sin\alpha \cdot \cos\alpha$$

$$C_{ij} = - \frac{6EI}{L^2} (\frac{\theta_i}{R}) \sin\alpha$$

$$\bar{C}_{ij} = - \frac{6EI}{L^2} (\frac{\theta_i}{R}) \cos\alpha$$

$$d_{ij} = \frac{4EI}{L} (\frac{\theta_i}{R}), \quad \bar{d}_{ij} = \frac{2EI}{L} (\frac{\theta_i}{R})$$

$$a'_{ij} = \frac{EI}{L} \cos^2\alpha + \frac{3EI}{L^3} (\frac{\theta_i}{R}) \sin\alpha$$

$$\bar{a}'_{ij} = \frac{EI}{L} \sin\alpha + \frac{3EI}{L^3} (\frac{\theta_i}{R}) \cos^2\alpha$$

$$b'_{ij} = \left\{ \frac{EI}{L} - \frac{3EI}{L^3} (\frac{\theta_i}{R}) \right\} \sin\alpha \cdot \cos\alpha$$

$$C'_{ij} = - \frac{3EI}{L^2} (\frac{\theta_i}{R}) \sin\alpha$$

$$\bar{C}'_{ij} = - \frac{3EI}{L^2} (\frac{\theta_i}{R}) \cos\alpha, \quad d'_{ij} = \frac{3EI}{L} (\frac{\theta_i}{R})$$



は非線形解析における崩壊解が求まつたかどおかを判定する部分である。また、④の判定部分は荷重倍数が1に収斂したかどおかを、⑤の判定部分は塑性関節(全塑性率曲)の発生数と不静定次数を比較し、構造が形成され不安定な構造になつたかどおかを判定する部分である。

### 5. 計算例

図-2のようだ、下弦の全節点に集中荷重Pをうけるローゼ桁について本研究による場合と線形塑性解析による場合の崩壊過程を紹介すると、この場合の崩壊過程は、それより、図-3の(a), (b)のようであり、この図の各段階における荷重強度は表-1のようである。図-3より崩壊過程の第3段階目までは両解析の場合とも同様の過程をたどるが、本研究の場合に第3段階目で吊材89, 10, 11が降伏した時莫て構造全体の不安定現象が発生し崩壊することになり、線形塑性解析では第6段階で下弦節点9, 11に塑性関節が発生し、構造を形成して崩壊する。また、第3段階目までの各段階における荷重強度は本研究の場合の方が3%強、線形塑性解析の場合より大きくなっているが、最終的な限界荷重では $144781/148741 = 0.973$ 、より約3%ほど小さくなっている。これらの結果より構造物の崩壊過程が限界荷重の決定には本文のような方法で解析を進めてゆく必要があろう。なお、

	第1段階	第2段階	第3段階	第4段階	第5段階	第6段階
a) 線形塑性解析	139,274	139,187	140,193	140,621	148,115	148,741
b) 本研究	143,914	144,613	144,781			
b/a	(1.033)	(1.033)	(1.032)			

単位はkg

本計算例における各部材の断面性状は表-2のようである。

### 6. 参考文献

- 1) 児島 平尾：電子計算機による平面剛滑節構造物の塑性関節、および崩壊荷重の追跡について 土木学会第20回全国大会論文集
- 2) 星 児島 平尾：有限変位を考慮した平面棒構造物の崩壊過程の自動追跡について 土木学会第24回年次学術講演会論文集
- 3) 星 児島 平尾：軸力を考慮した平面棒構造物の崩壊過程の自動追跡について 土木学会第25回年次学術講演会論文集
- 4) 児島弘行：斜腹材を有するアーチ系構造物の極限荷重について 第1回日本構造力学講演会論文集
- 5) 星 児島 平尾：平面構造物の安定性に対する一解析法 便島大学工芸部研究報告第15号
- 6) 星 児島 平尾：平面構造物の安定性に対する一計算法 第18回国四会議論文集

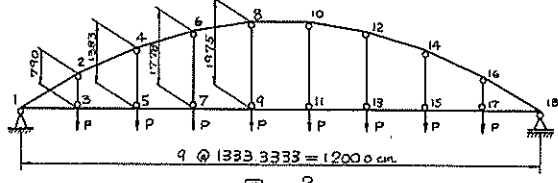


図-2 崩壊過程

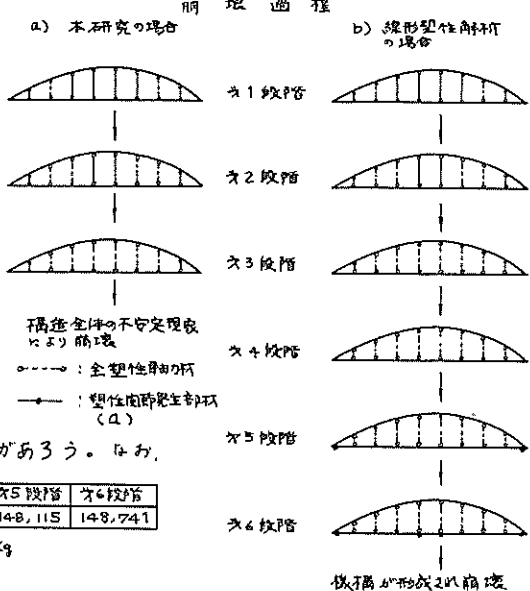


図-3 (b) 崩壊過程

表-2

	上弦材 下弦材	帯材(腹材)
F	500 cm	50 cm
I	1,000,756 cm <sup>4</sup>	1,310 cm <sup>4</sup>
N <sub>o</sub>	1,400,000 kg	140,000 kg
M <sub>p</sub>	58,273,250 kg·m	—

No: 全塑性率曲線  
M<sub>p</sub>: 全塑性モーメント